

تحلیل برگشتی گسیختگی شیب لسی در زلزله رودبار منجیل (خرداد ۱۳۶۹) و استفاده از نمودارهای شتاب - ضریب اطمینان استاتیکی جهت پنهانی مقدماتی لغزش شیروانیها

سید مجده الدین میرمحمد حسینی

استادیار دانشکده عمران، دانشگاه صنعتی امیرکبیر

سعید منتظر القائم

کارشناس ارشد خاک و بی

چکیده:

در این مقاله نتایج مربوط به تحلیل برگشتی یکی از گسیختگی هایی که در شیروانیها در زلزله ۱۳۶۹ منجیل- رودبار بوقوع پیوسته است بطور خلاصه ارائه می شود. در این تحلیل منحنی های شتاب- ضریب اطمینان در هنگام زلزله برای مقطع گسیخته شده شیروانی تهیه گردیده و از روی آنها شتاب گسیختگی مقطع بدست آمده است. در ادامه این مقاله نمودارهای مربوط به تغییرات حداقل شتاب لازم جهت گسیختگی بر حسب ضرائب اطمینان و زاویه متوسط سطح لغزش شیروانیها در بارگذاریهای زلزله (تهیه شده توسط (Ishihara) معروف گردیده و نشان داده شده است که سازگاری خوبی بین اطلاعات زمین لغزه مورد مطالعه با نمودارهای فوق برقرار است. در پایان روشی جهت پنهانی مقدماتی خطر لنزهای ناشی از زلزله با استفاده از نمودارهای فوق پیشنهاد گردیده و بر مبنای آن نقشه های مقدماتی پنهانی خطر زمین لغزه های ناشی از زلزله برای ایران تهیه شده است.

The Analysis of a Failed Loess Slope During Manjil Earthquake and Macrozonation of Land Slides Using Acceleration- Safety Factors Diagrams

S.M.Mir Mohammad Hosseini, Ph.D.

Assistant Prof. of Civil Eng. Dept. Amirkabir University of Technology

S. Montazerolghaem, M.Sc.

M.Sc. International Inst. of Earthquake Eng. and Seismology

ABSTRACT

In this paper the results of analysis of a failed loess slope during Manjil-Roodbar earthquake is presented. In this method the acceleration- safety factors curves for failure surface during earthquakes are provided and the critical acceleration of the slope causing failure is determined consequently. The variation of the failure acceleration versus safety factors and the average angle of slope during earthquake

loadings are plotted and it is shown that there is a good agreement between the field data of the failed land slide and the above curves. Finally a method is suggested for the macrozonation of land slides, according which a cursory level of zonation for the probable land slides during future earthquakes has been carried out.

کانون زلزله، لغزش و گسیختگی‌های زیادی در شیبها و شیرانیها بوجود آمد که به دلیل تغیرات شدید شرایط توپوگرافیک و زمین‌ساختی در مناطق زلزله‌زده، زمین‌لغزه‌ها نیز از نوع زیادی برخوردار بوده‌اند. وقوع این لغزشها باعث تخریب روستاها و راهها، آسیب رساندن به مزارع، زمین‌های کشاورزی و فعالیتهای معدنی و همچنین تأسیسات سد سفیدرود گردید و رقمی بیش از ۲۰۰ نفر کشته بر جای گذاشت و همچنین در بعضی مناطق از قیل باکلور، وقوع زمین‌لغزه باعث انسداد آبراه و ایجاد سد طبیعی در محل گردید.

یکی از انواع شایع زمین‌لغزه‌های ایجاد شده در زلزله فوق، خصوصاً در حاشیه رودخانه‌های سیاهرود و سفیدرود و آبراههای فرعی آنها لغزش بلوکی توده لس برروی تشکیلات زیرین می‌باشد. در مقاله حاضر بعضی از جبهه‌های مورد مطالعه در تحلیل برگشته یکی از زمین‌لغزه‌های بزرگ از نوع فوق الذکر در منطقه گاوخسب تشریح گردیده است.

۱- مشخصات اصلی زمین‌لغزه گاوخسب:

زمین‌لغزه گاوخسب در دامنه جنوبی مسلط به رودخانه سیاهرود، در نزدیکی محل تلاقی با رودخانه سفیدرود و مقابل روستای گاوخسب اتفاق افتاده است (شکل ۲) طول این زمین‌لغزه حدود ۳۰۰ و عرض آن بین ۴۰۰ متر در تغییر بوده است. عمق سطح

مقدمه
یکی از عوارض مهم ژنوتکنیکی زلزله‌های با بزرگی ۵ ریشتر و پیشتر وقوع لغزش و گسیختگی‌های شیبها در حین زلزله می‌باشد. به طوری که بعضی خسارات جانی و مالی قابل توجهی ناشی از این امر به وجود می‌آید و این موضوع پیشتر به دلیل ناگهانی بودن وقوع آنها می‌باشد.

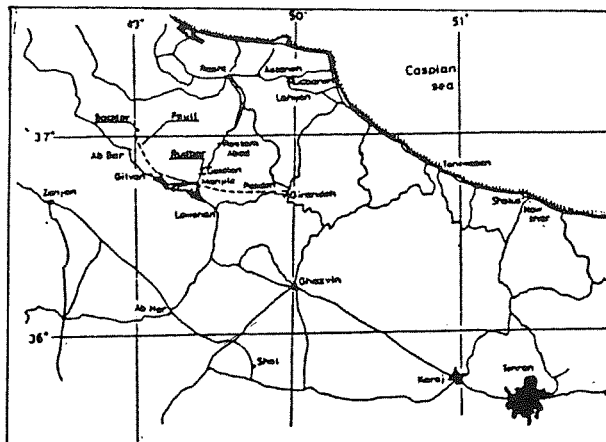
بهمن سنگ و واریزه (Rock & debris avalanche) در استان گاتزوی چین در ۱۷۸۹ که منجر به هلاکت ۷۶۰ نفر گردید را می‌توان یکی از قدیمی‌ترین زمین‌لغزه‌های ناشی از زلزله دانست که در سوابق و مدارک تاریخی به آن اشاره شده است.

زمین‌لغزه‌های بزرگ غالباً قادر به ایجاد بزرگترین گسیختگی در شیبها و یا زمین‌لغزه‌ها بوده، به گونه‌ای که در ارزیابی زمین‌لغزه‌های بزرگ قدیمی که دلایل قطعی جهت وقوع آنها ارائه نشده، احتمال دخالت زلزله‌های شدید کاملاً وجود دارد.

Hansen و Franks (1991) با بررسی زمین‌لغزه سیه مره در کوههای زاگرس در استان لرستان آن را با احتمال قوی یکی از بزرگترین زمین‌لغزه جهان دانسته و بدلیل عظمت آن و همچنین زلزله‌خیز بودن ایران، عامل احتمالی آن را وقوع زلزله ذکر کردند. این زمین‌لغزه بصورت لغزش توده‌ای سنگ (Rock Block Slide) برروی لایه‌های کم ضخامت و سنگ آهک با زاویه صفحه گسیختگی ۲۰ درجه نسبت به افق اتفاق افتاده است. طول، عرض و ضخامت اولیه توده لغزش یافته به ترتیب ۱۵Km، ۵Km، ۳۰۰ m بوده و واریزه‌های ناشی از آن به چنان سرعتی رسیده که تا ارتفاع ۶۰۰ متر از کف دره مجاور بالا رفته‌اند. حجم توده گسیخته شده در این لغزش حدود ۲۰ Km³ تخمین زده شده که سطحی معادل ۱۶۰ کیلومتر مربع تا عمق ۱۲۰ متر را دربرمی‌گیرد.

زمین‌لغزه بسیار عظیم Nevados-Huascaran در پرو که از نوع بهمن سنگی (Rock Avalanche) بوده و به هنگام زلزله ۱۹۷۰ پرو، دو شهر و چند آبادی را ویران و ۱۸۰۰۰ نفر تلفات بر جای گذاشت را می‌توان به عنوان یکی از فاجعه‌بارترین زمین‌لغزه‌های ناشی از زلزله در سالهای اخیر دانست.

در زلزله سال ۱۳۶۹ روبار- منجیل که با بزرگی ۷/۳ ریشتر (شکل ۱) بوقوع پیوست تا شعاع حدود ۸۰ کیلومتر از



شکل ۱ - موقعیت گسل محرك زلزله و شهرهای عمده واقع در منطقه زلزله‌زده

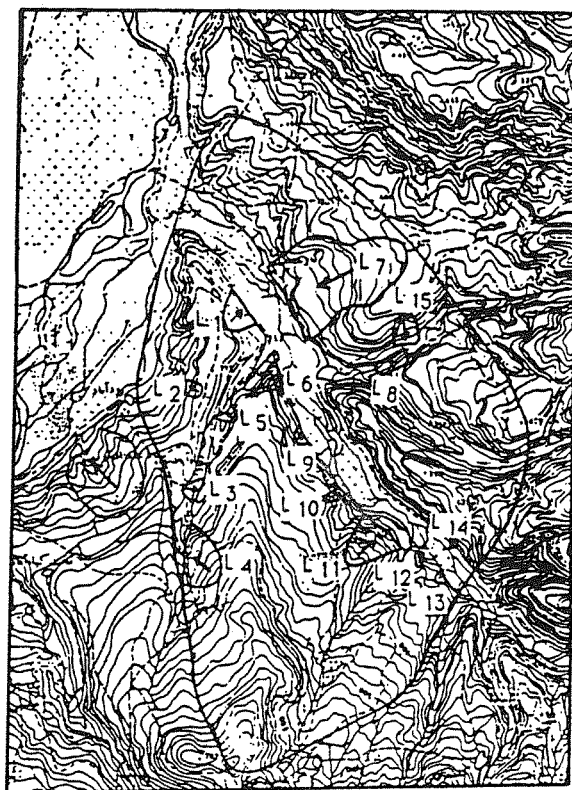
در شیب مورد بررسی نهشته‌های لسی با سن مربوط به دوره پس از یخچالی با سرعتی حدود ۱۵ سانتیمتر در هر هزار سال بروی پوشش استپی زیرین خود تشکیل می‌شوند و شبکه پیچیده‌ای از ریشه‌های گیاهان را در خود مدفون می‌سازند. این شبکه که امتداد عمومی آن قائم است، در توده لسی کلیواژهای قائمی را ابعاد می‌کند، به طوری که شیب‌های واقع در توده‌های لس عموماً در امتداد قائم می‌ایستند.

به علت چسبندگی شیمیائی ضعیفی که در اثر مواد آهکی و نیز ذرات ریز رس در بین ماسه‌های رس و سیلت تشکیل دهنده توده بوجود آمد، لس تاده‌ها متر بصورت قائم می‌ایستد.

توده لس بروی سازند هزار دره که کنگلومرای جوانی است تشکیل شده و بعلت وضعیت خاص نهشته شدن شکل هندسی سطح زیرین را حفظ کرده است. کنگلومرای هزار دره دارای سماتیسیون خوبی است و امکان لغزش در آن چنین شیب‌هایی به جز در امتداد سطوح ناپیوستگی مربوط به رویدادهای تکتونیکی قبلی متصل است. این سازند بروی تشکیلات کرج که عمدها شامل توالی از توف و گدازه می‌باشد تشکیل یافته است.

بررسی‌های انجام شده شامل مطالعات ژئوسایزیمیک انکساری، ژئوکتریک و انجام نمونه‌برداریهای دست نخورده و دست نخورده از دیوارهای افزار اصلی و چال‌های حفر شده می‌باشد. در شکل ۲ پلان زمین‌لغزه همراه با مقاطع ژئوسایزیمیک و ژئوکتریک و محل‌های نمونه‌برداری و موقعیت یکی از چال‌ها نشان داده شده است. آزمایشات انجام شده شامل تعیین رطوبت و دانسیته طبیعی، دانه‌بندی و هیدرومتری، حدود خمیری و روانی، فشار تک محوری روی نمونه‌های دست نخورده و دست نخورده آزمایش برش مستقیم، تراکم و تحکیم بوده است. با توجه به یکنواختی نسبی لس‌ها، نتایج حاصله تشکیل یک جامعه آماری را داده‌اند که بروی آنها تحلیل آماری انجام پذیرفته است. خلاصه نتایج این تحلیل در جدول شماره ۱ ارائه شده است. در این جدول تعداد نمونه‌ها و مقادیر متوسط واریانس و انحراف استاندارد و همچنین مقادیر حداقل و حدکثر و محدوده‌های با اطمینان ۹۵ درصد و ۶۸ درصد ارائه شده است. همچنین ضریب تغییرات (CV) که بصورت نسبت انحراف استاندارد به میانگین (برحسب درصد) تعریف می‌شود نیز محاسبه و در جدول ۱ داده شده است. جهت مقایسه تغییرپذیری داده‌ها مقادیر CV توصیه شده برای استاندارد نیز محدوده CV گزارش شده در مراجع دیگر نیز در این جدول ارائه شده‌اند.

به دلیل مشابه بودن خصوصیات نهشته‌های لس در نقاط مختلف جهان، نتایج آزمایشات انجام شده با خصوصیات لس‌های تیبلک سایر نقاط جهان مقایسه شده است. این مقایسه‌ها نشان می‌دهند که لس مورد مطالعه جزو لس‌های متراکم و مقاوم تر



شکل ۲ - نقشه توپوگرافی محل تلاقی رودخانه‌های سیاه‌رود و سفیدرود که تعدادی از زمین‌لغزه‌های واقع در آن باعلامت‌های ۱۱ تا ۱۱۵ مشخص گردیده‌اند، زمین‌لغزه مورد مطالعه در مقاله حاضر (زمین‌لغزه گاو‌خسب) با ۱۱ مشخص شده است.

لغزش که در بررسی‌های ژئوسایزیمیک منطبق بر مرز لیتلوزیکی لس و کنگلومرای زیرین تشخیص داده شده است در عمق ترین قسمت حدود ۴۵ متر تخفین زده می‌شود. قطعات و مصالح حاصل از این لغزش تا فاصله ۱۲۰ متر از محل پنجه شیب جابجا شده و افزار اصلی با ارتفاع بین ۳ تا ۱۵ متر از خود برجای گذاشته شده است. توپوگرافی محل بعد از گسیختگی و لغزش از پله‌ها و ترکهای متعدد در بین بلوک‌های جدا شده تشکیل گردیده است. در قسمت‌های مجاور توده لغزش گافتہ ترکهای طولی با عرض حدود ۳۰ سانتیمتر و طول ده‌ها متر بعد از زلزله ایجاد شده که خود میان ناپایداری این مقاطع بوده ضمن اینکه جابجائی و تغییر شکلهای ویران کننده‌ای نداشته‌اند. این زمین‌لغزه باعث انهدام مزارع و زمینهای کشاورزی در قسمتهای پائین دست و بعضی بالادرست شیروانی شده است.

۲- خلاصه بررسی‌های صحرائی و آزمایشگاهی:

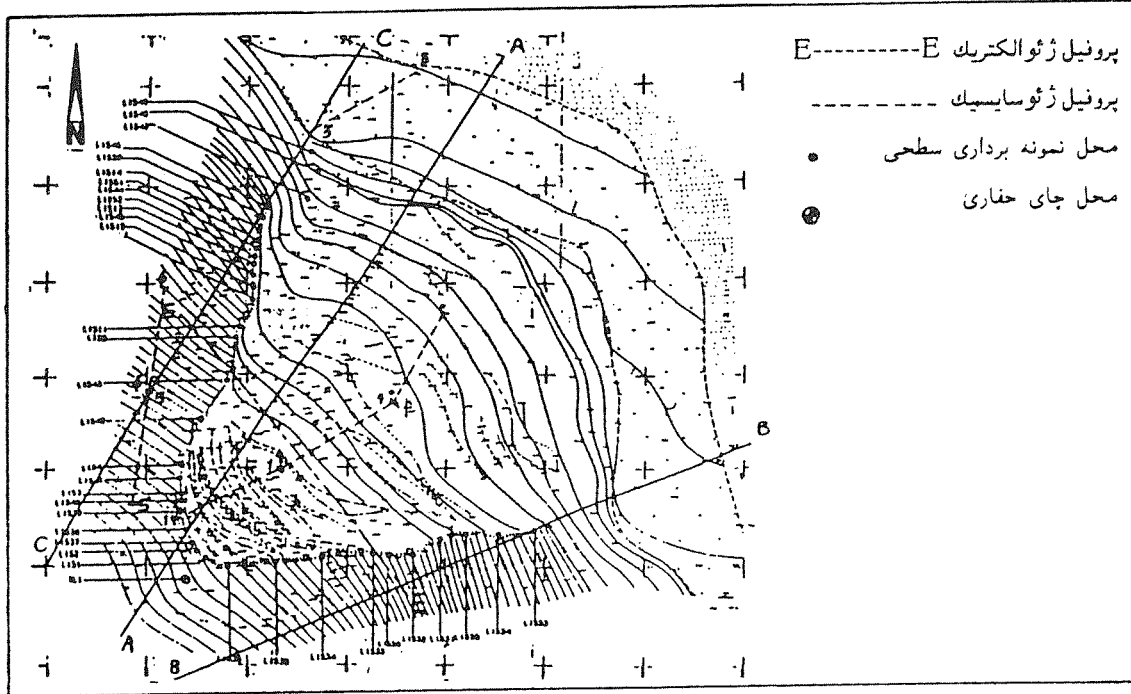
نحوه داشتاره در انتشار CV	ضریب CV	محدوده با اطمینان %۹۵	حداکثر حداقل	انحراف استاندارد اریانس متوسط	تمدّد نمونه‌ها	CF در صد جزو رسی	CF در صد ریزتر از ۵۰mm	CF در صد ریزتر از ۳۰mm	CF در صد ریزتر از ۲۰mm
گستاور سوم	-۰/۷	-۰/۷	۴۶	۱۰/۷-۱۲/۷	۱۰	۳۹	۲۶/۷	۶۶/۴۸	۸/۱۵
چهارم	+۰/۸	-۰/۲	۴۶	۱۰/۷-۱۲/۷	۱۰	۳۹	۳۳/۵۹	۸۷/۸۳	۹/۳۷
پنجم	-۰/۴	-۰/۴	۳۷	۹/۳	۹/۳	۳۹	۷۰/۱	۱۰/۶-۲۲	۱۰/۳۱
ششم	-۰/۴	-۰/۴	۳۷	۹/۳	۹/۳	۴۰	۵/۷۲	۶/۴۹	۲/۵۵
هفتم	-۰/۱	-۰/۱	۳۷	۹/۳	۹/۳	۴۱	۲۹	۵/۷۲	۶/۴۹
هشتم	-۰/۱	-۰/۱	۳۷	۹/۳	۹/۳	۴۲	۳۷	۲۵/۶	۵/۴۷
نهم	-۰/۱	-۰/۱	۳۷	۹/۳	۹/۳	۴۳	۳۷	۰/۰۴	۰/۰۴
دهم	-۰/۰	-۰/۰	۴۴	۹/۱	۹/۱	۴۴	۴۰	۰/۰۷	۰/۰۷
یازدهم	-۰/۰	-۰/۰	۴۴	۹/۱	۹/۱	۴۵	۴۰	-۰/۰۱	-۰/۰۱

وضعیت آب زیرزمینی:

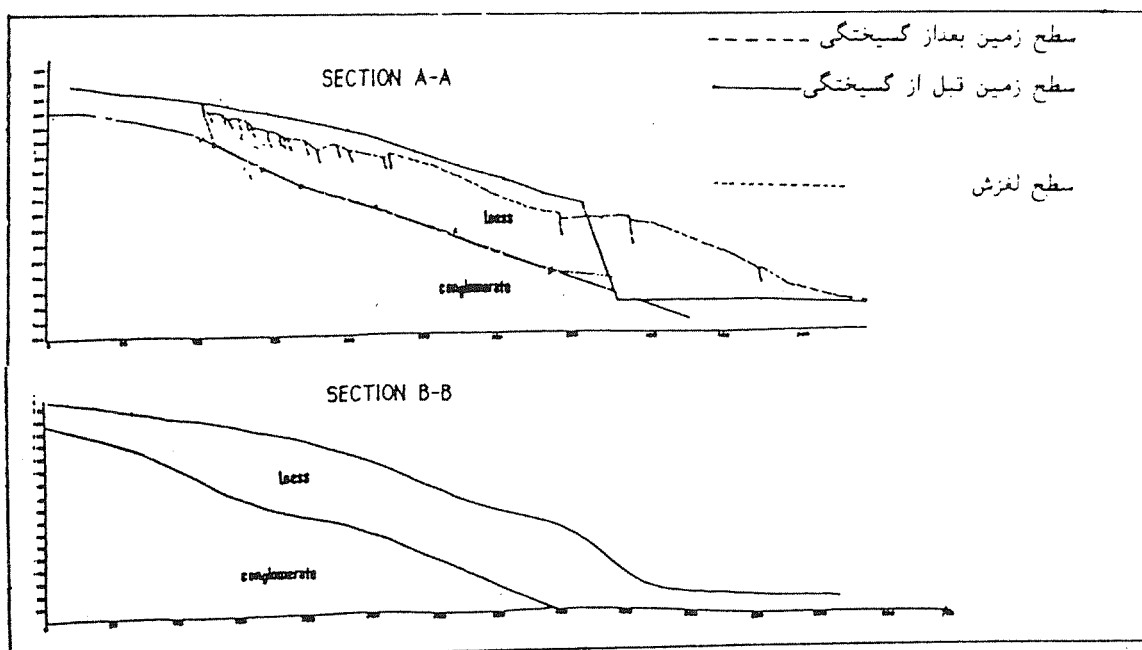
با توجه به کم بودن فاصله از مناطق بالادست (تدنیه کننده) تا پائین دست (تخلیه کننده) بنظر نمی‌رسد که در هنگام وقوع زلزله (صادف با اوائل فصل تابستان) زون اشیاع مهمی در سطح لغزش که منطبق بر مرز لس و کنگلومرات است وجود داشته است این نتیجه‌گیری با عدم ظهر آب در بعد از زمین‌لغزه در هیچ یک از نقاط توده گسیخته شده تأیید می‌شود. با این حال به دلیل تراکم نسبتاً زیاد مصالح لسی در شب مورد مطالعه، حتی در صورت وجود یک زون اشیاع محدود در سطح گسیختگی، تغییرات زیادی در خصوصیات مقاومتی این مصالح به ویژه در تنش‌های بین ۷ تا ۸ کیلوگرم بر سانتی متر مربع موجود در سطح لغزش مورد انتظار نمی‌باشد.

۳- تحلیل برگشتی:

در شکل ۳ مقاطع A-A و B-B و C-C بر روی پلان زمین لغزه نشان داده شده‌اند. مقاطع A-A در توده گسیخته شده و مقاطع B-B و C-C در قسمت‌های ترک خورده مجاور زده شده‌اند. مقاطع A-A و B-B در شکل ۴ نشان داده شده‌اند. نتایج تحلیل پایداری گسیختگی در امتداد مرز لس هزار دره در مقاطع A-A و B-B در حاله‌ای استاتیکی و زلزله ۱۳۶۹ منجیل در جدول شماره ۲ خلاصه شده است. در تحلیل‌های فوق از برنامه Pentes که قادر به تعیین ضریب اطمینان پایداری در سطوح گسیختگی غیر دایره‌ای (Generalised failure surface)



شکل ۳ - پلان زمین لغزه گاو خسب محل های نمونه گیری سطحی و چال، مقاطع ژئوسایزیمیک و ژئوالکتریک و نیز مقاطع A-A' و B-B' و C-C' در این پلان نشان داده شده اند.



شکل ۴ - (a) مقطع A-A' با گشختگی کلی و جابجایی زیاد و (b) مقطع B-B' با ترک خوردنگی و جابجایی محدود.

است استفاده شده، در روش بکار گرفته شده در این برنامه، برای جرمان مجھولات اضافی موجود در تحلیل فرض شده است که نسبت بین تش عمودی وارد بر سطح گسیختگی به وزن مصالح بالای آن در هر باریکه مطابق زیر است:

$$\mu_1 + \mu_2 t \alpha$$

α زاویه کف باریکه با محور افقی و μ_1 و μ_2 ضرایبی هستند که در هر سطح گسیختگی مفروضی ثابت می باشند و در جریان تحلیل پایداری همراه با ضرب اطمینان تعیین می شوند. این برنامه تأثیر زلزله را با روش شبہ استاتیکی به شکل نیروی افقی معادل بر توده گسیخته می پذیرد. در روش شبہ استاتیکی متداول پارامترهای مقاومتی استاتیکی منظور می شود و در عوض بجای شتاب حد اکثر ثبت شده در زلزله کسری از آن (در این مطالعه ۶۵٪ آن) مورد استفاده قرار می گیرد.

ایشی هارا (1985) براساس آزمایشات مقاومتی دینامیکی برچند نمونه مصالح زمین لغزه، پیشنهاد کرد که مقدار C دینامیکی به میزان پنجاه تا شصت درصد نسبت به حالت استاتیکی افزایش یابد و در عوض از شتاب حد اکثر ثبت شده در زلزله استفاده شود. وی همچنین مقدار زاویه اصطکاک را در حالت های استاتیکی و دینامیکی یکسان در نظر گرفت. در جدول شماره ۲، تحلیل پایداری حین زلزله با روشهای شبہ استاتیکی متداول و ایشی هارا ارائه شده اند. برای مقایسه، نتایج تحلیل شبہ استاتیکی با استفاده از پارامترهای مقاومتی استاتیکی و بدون کاهش شتاب حد اکثر ثبت شده زلزله نیز در جدول فوق بنام روش پایه ارائه شده است.

در مقایسه روشهای شبہ استاتیکی فوق در تعیین ضریب اطمینان پایداری شیب ها در حین زلزله می توان به موارد زیر اشاره کرد:

۱- هیچ یک از روشهای ایشی هارا و شبہ استاتیکی متداول در تعیین ضریب K_s ، توجهی به محتوای تاریخچه زمانی حرکات شدید زمین ندارند. به عنوان مثال، هر یک از این روشهای برای دو زلزله با تداوم زمان حرکات شدید متفاوت اما شتاب حد اکثر ثبت شده یکسان، ضرایب زلزله یکسانی را توصیه می کنند. به عبارت دیگر گذرا بودن بارگذاری زلزله در تعیین ضریب K_s در روش شبہ استاتیکی متداول به صورت ناقص در نظر گرفته شده و در روش شبہ استاتیکی ایشی هارا بکلی در نظر گرفته شده است.

۲- روش ایشی هارا مقدار پارامتر C را در حالت دینامیکی نسبت به استاتیکی افزایش می دهد و در عوض مقدار شتاب حد اکثر ثبت شده را در تعیین نیروی افقی معادل بکار می برد. در حالی که در روش شبہ استاتیکی متداول، کاهش مقدار شتاب حد اکثر ثبت شده در تعیین نیروی افقی معادل، بدون توجه به مقدار پارامترهای C صورت می پذیرد. در این رابطه روش ایشی

هارا زا می توان به عنوان گامی در جهت استفاده از پارامترهای مقاومتی در واکنش دینامیکی شبیب در نظر گرفت. با این حال روش ایشی هارا این اشکال را دارد که تمام بار افزایش نیروها در اثر زلزله را به C افزایش یافته منتقل کرده است. در حالی که همانگونه در بند ۲ فوق گفته شد گذرا بودن بار زلزله نیز تنها با افزایش مقدار C جبران شده است.

۳- روش ایشی هارا را در حالت C کم یا عمق سطح گسیختگی زیاد در (حاکمهای که مقدار C با عمق افزایش مهمی ندارد) به حالت سوم تحلیل های فوق نزدیک می شود و در حالت C=0 (حاکمهای کامل اصطکاکی یا مقاومت پس ماند در سطوح گسیختگی موجود از قبل) کاملاً به آن منطبق می شود. این به آن معناست که روش ایشی هارا برای مصالح بدون چسبندگی، انجام تحلیل را براساس حداکثر شتاب ثبت شده و بدون تغیر در پارامترهای مقاومتی توجیه می کند. همانطور که گفته شد ایشی هارا نتایج فوق را از یک سری آزمایشات سه محوری دینامیکی با بارگذاری نامنظم بدست آورده است. با این حال صحت کاربرد این روش در مصالح بدون چسبندگی بایستی با انجام تحلیل های برگشتی بروی شیب های واقعی یا آزمایشات مدل تأیید شود.

۴- بطور کلی روش ایشی هارا تأثیر زلزله بر شیب های مشکل از مصالح غیر چسبنده را بیشتر از شیب های دیگر می بیند. در حالی که روش شبہ استاتیکی متداول تفاوتی را در واکنش لرزه ای شیب ها بر حسب نوع مصالح مشکله آنها در نظر نمی گیرد.

نتایج خلاصه شده در جدول ۲ نشان می دهند که ضرائب اطمینان استاتیکی هر دو مقطع به میزان قابل توجهی از واحد بیشتر است. همچنین ضرائب اطمینان حالت زلزله هر دو مقطع از واحد به میزان قابل ملاحظه ای کمتر است.

جدول ۲- خلاصه نتایج تحلیل برگشتی مقاطع A-A و B-B در شرایط استاتیکی در زلزله با روشهای مختلف شبہ استاتیکی

پارامتر	روش تحلیل				
	زلزله- شبہ استاتیکی				پایه
	استاتیکی	متداول	ایشی هارا	پایه	
C(kg/cm ²)	.7	.7	105	.7	
$\phi(0)$	30	30	30	30	
a_s	0	5/2	5/2	5/2	
K_s	0	3/38	3/38	3/38	
A-A مقطع F _s	1/52	0.82	0.71	0.66	
B-B مقطع F _s	2/11	0.97	0.81	0.73	

بنابراین روشهای به کار گرفته شده در تحلیل برگشتی به درستی وضعیت پایداری قبل و بعد از زلزله را توجیه می‌کنند. این وجود در حالی که مقاطع فوق هر دو در هنگام زلزله ناپایدار شده‌اند اما در مقطع A-A این ناپایداری به تغییر مکان زیاد شیب و انهدام کلی آن منجر شده است در حالی که در مقطع B-B ناپایداری در حد ترک خوردن موقوف شده و به ناپایداری کلی نیاز جایده است. این موضوعی است که روشهای بکار گرفته شده قادر به پیش‌بینی آن نیستند هرچند که ضرائب اطمینان مربوط به مقطع A-A را از ضرائب اطمینان مربوطه در مقطع B-B کوچکتر نشان می‌دهند. توجیه واقعیت فوق باقیستی با درنظر گرفتن مقدار تغییر مکان‌های ایجاد شده و تغییر پارامترهای مقاومتی در اثر ایجاد تغییر مکان‌های ناشی از زلزله انجام شود که در مرجع شماره ۱ مورد بررسی قرار گرفته است.

همچنین منحنی تغییرات ضریب اطمینان با شتاب زلزله با روش‌های شبه استاتیکی فوق الذکر در شکل ۵ نشان داده شده است.

از این شکل مقدار شتاب تسیم برای سطح گسیختگی مقطع A-A با روش شبه استاتیکی ایشی‌ها را معادل ۳۰۰ gal بدست می‌آید.

چنانچه انتظار می‌رود، نتایج حالت سوم پائین‌ترین ضرائب اطمینان را برای یک شتاب مفروض می‌دهد. همچنین دیده می‌شود که نتایج روش ایشی‌ها عموماً ضرائب اطمینان کمتری را در یک شتاب مفروض نسبت به روش شبه استاتیکی متداول می‌دهد. نتیجه فوق در تطبیق با نتایج بدست آمده توسط Matasovic (1991) در تحلیل برگشتی پایداری لرزه‌ای زمین‌لغزه VELJI Kaliman یوگسلاوی که توسط زلزله ۱۹۷۹ مونته نگرو تحریک گردیده است می‌باشد (شکل ۶).

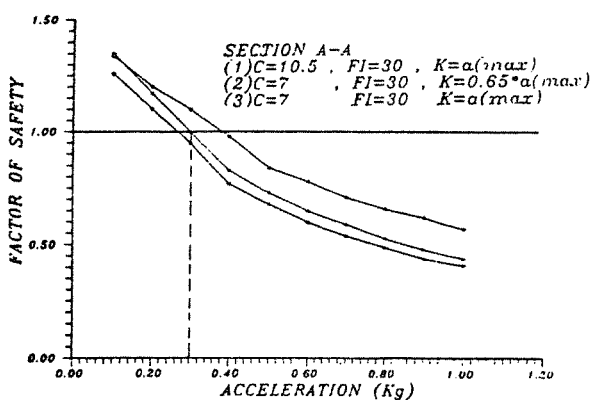
۴- استفاده از نمودارهای ایشی‌ها در تحلیل برگشتی زمین‌لغزه گاوخسب :

چنانچه اشاره شد ایشی‌هارا (1985) پیشنهاد کرده است که در تعیین ضریب اطمینان گسیختگی شیب‌ها در حالت زلزله، مقدار C_{dyn} در نظر گرفته شود اما ϕ همان ϕ_{stat} باشد. در عین حال وی از شتاب حداقل ثبت شده در زلزله برای تعیین نیروی معادل زلزله استفاده نموده بنابراین ضریب اطمینان گسیختگی شیب در حالتهای استاتیکی و دینامیکی برای سطوح گسیختگی کلی از فرمولهای زیر قابل تعیین هستند (شکل ۷):

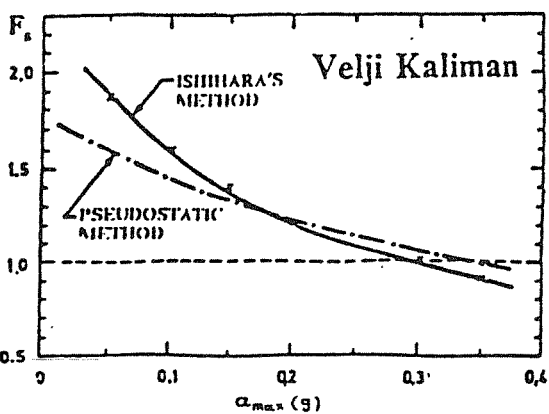
$$F_s = \frac{\Sigma [W \tan \Phi + CL \cos \alpha] / [\cos^2 \alpha (1 + \tan \alpha \tan \Phi) / F_s]}{\Sigma W \tan \alpha}$$

$$F_d = \frac{\Sigma [W \tan \Phi + C_p L \cos \alpha] / [\cos^2 \alpha (1 + \tan \alpha \tan \Phi) / F_d]}{\Sigma [W \tan \alpha + (a_{max} / g) W]}$$

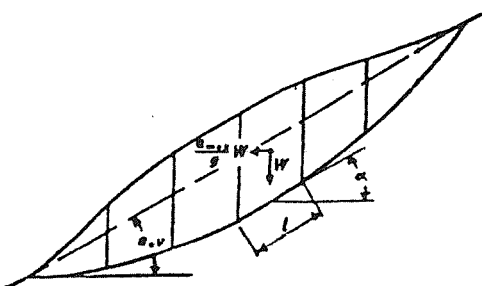
ایشی‌هارا (1986) پیشنهاد کرد که براساس نتایج چند مطالعه



شکل ۵ - تغییرات ضریب اطمینان در مقابله شتاب زلزله در مقطع A-A با روش شبه استاتیکی ایشی‌ها، شبه استاتیکی متداول و پایه.



شکل ۶ - تغییرات ضریب اطمینان با ضریب زلزله در تحلیل برگشتی زمین‌لغزه VELJI KALIMAN یوگسلاوی که توسط زلزله ۱۹۷۹ مونته نگرو تحریک گردید.



شکل ۷ - علامت‌های بکار رفته در تحلیل پایداری شیب در سطح گسیختگی کلی در حین زلزله با روش شبه استاتیکی.

موردنی، رابطه‌ای میان ضریب اطمینان استاتیکی F_s و شتاب افقی ایجاد کننده لغزش (مقدار شتاب a_{max}) که به ازاء آن $F_d = 1$

می شود) برقرار شود.

در خاکهای $\alpha_{av} = 5^{\circ}-20^{\circ}$ وی با قرار دادن $F_s = F_g$ در رابطه ضریب اطمینان دینامیکی فوق و استفاده از معادله مربوط به F_s ، رابطه زیر را به دست آورده:

$$a_{max} = \left(\frac{C_D}{C} F_s - 1 \right) \frac{\Sigma W \tan \alpha}{\Sigma W}$$

سپس وی α_{av} را به صورت زاویه خط مستقیمی که بالا و پائین یک سطح لغزش منحنی را بهم وصل می کند تعریف کرد و رابطه فوق را به شکل زیر ساده نمود:

$$a_{max} = \left(\frac{C_D}{C} F_s - 1 \right) \tan \alpha_{av}$$

نتیجه ضمنی این رابطه آن است که در یک شب مفروض، در صورتی که مقدار ضریب اطمینان استاتیکی ثابت باشد مقدار شتاب زلزله مورد نیاز برای ایجاد گسیختگی با تند شدن زاویه شب افزایش می یابد. وی همچنین با جمع بندی نتایج چند مطالعه موردنی گسیختگی شب های طبیعی در اثر زلزله در ایتالیا و ژاپن رابطه میان F_s و a_{max} را ایجاد کننده لغزش برای سه دسته زاویه شب متوسط α_{av} را بشکل منحنی های ارائه کرد که در شکل ۸ دیده می شوند.

برای کاملاً کردن داده های این روابط و نیز بررسی درستی این روابط در مورد زمین لغزه گاو خسب که در اثر زلزله ۶۹ منجیل ایجاد شد مشخصات مربوط به این زمین لغزه (قطع A-A) بشرح زیر تعیین و با منحنی های فوق مقایسه می شوند:

$$\alpha = 20^{\circ}$$

$$F_s = 1/52$$

$$a_{max} = 520 \text{ (gal)}$$

با توجه به اینکه α_{av} در زمین لغزه L1 در مزین بین دو محدوده ($20^{\circ}-30^{\circ}$) و (5°) ($\alpha = 20^{\circ}-30^{\circ}$) قرار دارد، مقدار شتاب حداقل زلزله ایجاد کننده لغزش برای هر یک از این دو محدوده زاویه با داشتن $F_s = 1/52$ از منحنی های فوق الذکر بصورت زیر تعیین می شوند:

$$F_s = 1/52 \rightarrow \alpha_{max} = \begin{cases} 240, \text{ gal} : \alpha_{av} = 5^{\circ}-20^{\circ} \\ 310, \text{ gal} : \alpha_{av} = 20^{\circ}-30^{\circ} \end{cases}$$

از طرفی چنانکه دیده شد از منحنی تغییرات ضریب اطمینان با شتاب زلزله که برای زمین لغزه L1 محاسبه شده است (شکل ۵) مقدار شتاب مربوط به $F_s = 1$ برای روش شب استاتیکی ایشی هارا چنین تعریف می شود:

$$F_s = 1 \rightarrow a = 300 \text{ gal}$$

مقدار 300 تطبیق خوبی با اعداد مربوط به $\alpha_{av} = 20^{\circ}-30^{\circ}$ a_{max} دارد. بنابراین روابط تهیه شده توسط ایشی هارا بین F_s و

ایجاد کننده لغزش به خوبی می تواند موقع لغزش را در زمین لغزه L1 پیش بینی کند. چنانچه بجای 300 gal مقدار حداقل شتاب مربوط به شتاب نگاشت تصحیح شده استگاه آب بر - یعنی 520 gal در منحنی های ایشی هارا قرار گیرد، مقدار ضریب اطمینان استاتیکی مربوطه چنین خواهد بود:

$$a_{max} = 520 \text{ gal} \rightarrow F_s = \begin{cases} 2/60 : \alpha_{av} = 5^{\circ}-20^{\circ} \\ 2/10 : \alpha_{av} = 20^{\circ}-30^{\circ} \end{cases}$$

بنابراین مطابق روابط ایشی هارا بین F_s و a_{max} ایجاد کننده گسیختگی، زلزله ۶۹ منجیل قادر بوده است که شب هایی با زاویه بین $5^{\circ}-20^{\circ}$ را که ضریب اطمینان استاتیکی پایداری آنها $2/6$ بوده است گسیخته نماید. همچنین این زلزله قادر بوده است که شب هایی با زاویه هایی بین $20^{\circ}-30^{\circ}$ را با ضریب اطمینان استاتیکی پایداری تا $1/2$ گسیخته نماید. از طرف دیگر می توان نتیجه گرفت که ضریب اطمینان استاتیکی پایداری شب هایی که این زلزله را به خوبی تحمل کرده اند برای شب های با زاویه بین $5^{\circ}-20^{\circ}$ از $2/6$ و برای شب های با زاویه بین $20^{\circ}-30^{\circ}$ از $1/2$ بیشتر بوده است.

روش به کار برده شده در این نتیجه گیری می تواند در مورد ارزیابی کلی وضعیت پایداری شب های موجود در منطقه و تهیه نقشه های خطر و پنهان بندی به خوبی به کار رود.

در صورتی که در سالهای نزدیک آتی زلزله ای با همین شدت در منطقه روی دهد، با احتمال زیاد شب های موجود در منطقه آن را به خوبی تحمل خواهند کرد، زیرا شب هایی که چنین قدرت تحملی را نداشته اند در زلزله قبلی گسیخته شده اند. استثناء های فاعده فوق شب هایی هستند که:

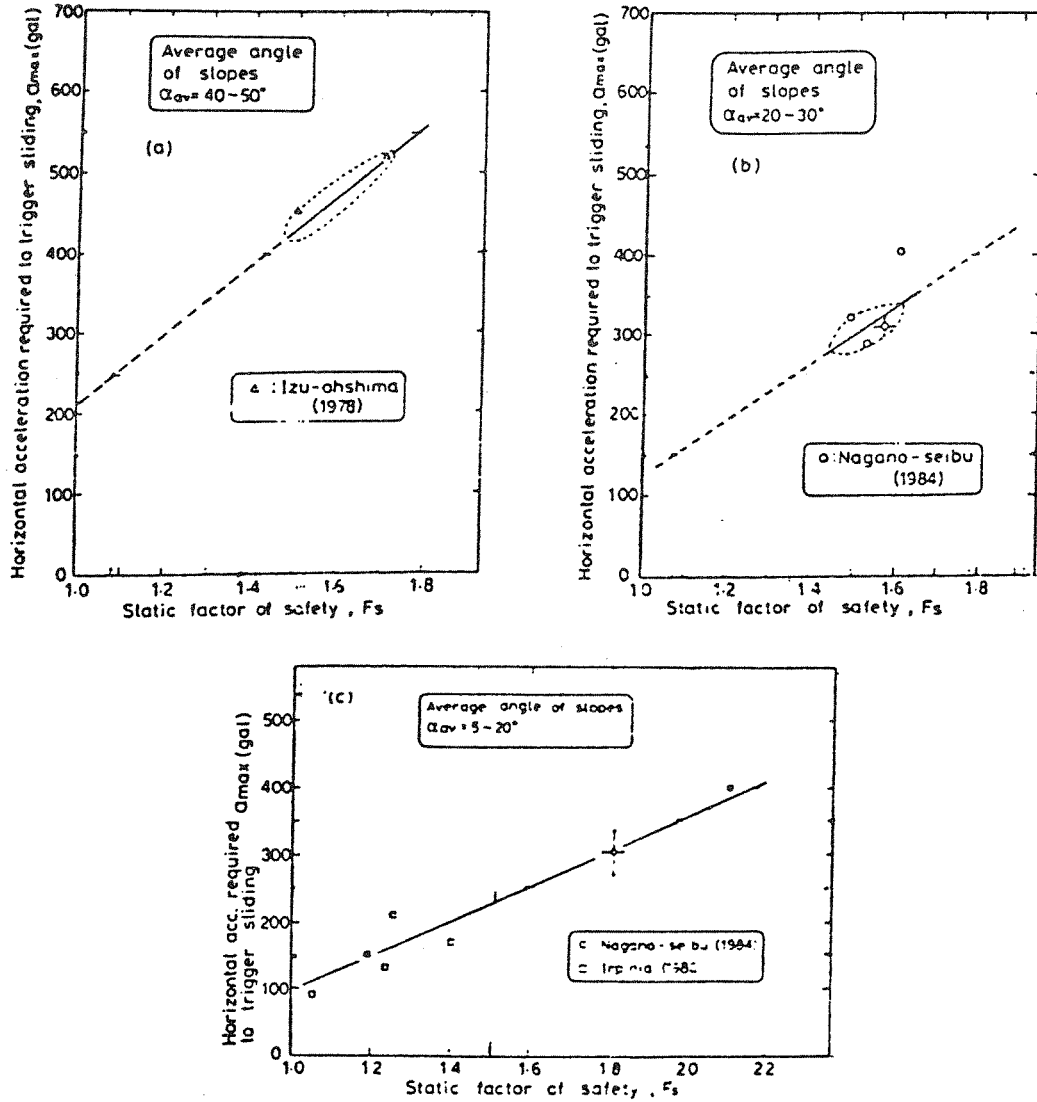
۱ - یا در اثر زلزله اخیر سست شده و ضریب اطمینان استاتیکی و در نتیجه زلزله ای آنها کم شده است.

۲ - یا در اثر زلزله اخیر بوجود آمده اند و ضریب اطمینان آنها نسبت به اعداد گفته شده فوق یائین است.

۳ - یا در اثر تغییر عوامل مؤثر در پایداری (در اثر تغییرات طبیعی یا مصنوعی) در فاصله بین دو زلزله، ضریب اطمینان آنها از حد مربوط به زمان زلزله ۶۹ منجیل پائین تر آمده است.

علاوه بر سه دسته فوق می توان شب هایی را نیز ذکر کرد که در زلزله اخیر در مزین پایداری بوده اند ولی علائم گسیختگی از خود بروز نداده اند.

همچنین با توجه به کثیر شب های گسیخته شده در این زلزله (هر چند که فرآیندهای ناپایدار کننده شب های طبیعی در این منطقه که از نظر تکونیکی و فرسایشی فعالیت زیادی دارد، در مقیاس زمین شناسی با سرعت زیادی عمل می کند) می توان فاصله زمانی و قوع زلزله ای مشابه را در منطقه نسبتاً زیاد دانست. نتیجه دیگر مقایسه مشخصات زمین لغزه L1 با منحنی های ایشی هارا آن است که زمین لغزه L1 در شتابی کمتر از آنچه که در



شکل ۸ - رابطه ضریب اطمینان استاتیکی و شتاب افقی مورد نیاز برای ایجاد گسیختگی برای زاویه‌های مختلف شیب.

۵- استفاده از نمودارهای ایشی‌های زمین‌لغزه‌های ناشی از زلزله (پهنه‌بندی مقدماتی خطر زمین‌لغزه‌های ناشی از زلزله در ایران):
نمودارهای ایشی‌هارابرای زاویه‌های مختلف شیب سطح لغزش، شتاب حداکثر لازم زلزله را برای ایجاد گسیختگی در ضریب اطمینان استاتیکی موجود می‌دهند. حال چنانچه احتمال شتاب‌های افقی زلزله در نقاط مختلف یک منطقه شخص باشد، برمنای این احتمال‌ها و نمودارهای ایشی‌هارا می‌توان در رابطه با پایداری شیب‌های مختلف موجود در منطقه اظهار نظر نمود. این روش می‌تواند به عنوان مبنای یک پهنه‌بندی مقدماتی از خطر زمین‌لغزه در هنگام زلزله در یک منطقه بکار رود.

این زلزله به وقوع پیوسته است می‌توانسته گسیخته شود. این نتیجه در تطابق با نتایج حاصله از منحنی تغییرات ضریب اطمینان با شتاب زلزله برای زمین‌لغزه II است. منحنی اخیر ضریب اطمینان زمین‌لغزه II را در مقطع A-A هنگام زلزله ۶۹ منجیل حدود ۷۱٪ می‌دهد. هرچند که نمی‌توان بین مقدار ضریب اطمینان حین زلزله و مقدار تغییر مکان حاصله از زلزله ارتباط قطعی برقرار کرد اما تغییر مکان چند ده متری توده گسیخته در زمین‌لغزه II حکایت از آن دارد که مقدار ضریب اطمینان حین زلزله بایستی به میزان قابل ملاحظه‌ای از واحد کمتر بوده باشد. بنابراین عدد ۷۱٪ برای ضریب اطمینان حین زلزله در مقطع گسیخته شده از این نظر قابل انتظار است.

حداکثر محتمل افقی تفکیک شده است:

$$\begin{aligned} I &: 0 / 55g < a_{max} \\ II &: 0 / 4g < a_{max} < 0 / 55g \\ III &: 0 / 25g < a_{max} < 0 / 4g \\ IV &: a_{max} < 0 / 25g \end{aligned}$$

با استفاده از نمودارهای ایشی هارا برای ۴ منطقه تعريف شده فوق مقدار ضریب اطمینان استاتیکی که در آن با اعمال حداکثر شتاب محتمل دوره طرح، شبیه های به سه دسته زاویه $5^{\circ}-20^{\circ}$ و $20^{\circ}-30^{\circ}$ و $30^{\circ}-40^{\circ}$ گسیخته می شوند داده شده است.

منطقه	حداکثر شتاب محتمل	مقدار ضریب اطمینان استاتیکی		
		زاویه متوسط سطح گسیختگی	$20^{\circ}-30^{\circ}$	$30^{\circ}-40^{\circ}$
I	0 / 7g	۳ / ۳۶	۲ / ۶۲	۲ / ۱۳
II	0 / 55g	۲ / ۷۵	۲ / ۲۰	۱ / ۷۷
III	0 / 40g	۲ / ۱۶	۱ / ۷۸	۱ / ۴۲
IV	0 / 25g	۱ / ۶۰	۱ / ۳۶	۱ / ۰۸

با استفاده از نقشه های مقدماتی پنهان بندی تهیه شده به روش فوق می توان در هر منطقه مورد نظر برای زلزله با دوره بازگشت ۵۰ یا ۵۰۰ سال، ضریب اطمینان استاتیکی حداقل را برای سه دسته زاویه متوسط سطح گسیختگی داده شده تعیین کرد. در صورتی که ضریب اطمینان در حالت استاتیکی از حداقل فوق کمتر باشد، شبیه مورد بررسی برای زلزله با دوره بازگشت موردنظر این نمی باشد. مناطق تفکیک شده با روش پنهان بندی فوق در شکل های ۹ و ۱۰ نشان داده اند.

به عنوان مثال از جدول های تهیه شده در فوق می توان دریافت که شبیه با زاویه متوسط سطح گسیختگی بین ۲۰ درجه در منطقه IV (با خطر زلزله کم) با ضریب اطمینان استاتیکی ۱ / ۶۰ برای زلزله با دوره بازگشت ۵۰۰ ساله نیاز به ضریب اطمینان استاتیکی حداقل ۳ / ۳۶ دارد.

نتایج فوق نشان می دهند که برای رسیدن به درجه معنی از اینمی در هنگام وقوع زلزله های آتی، شبیه های ملایم تر بايستی با ضریب اطمینان استاتیکی بیشتری نسبت به شبیه های تندتر طراحی شوند.

همچنین جداول فوق نشان می دهند که در صورتی که ضریب اطمینان استاتیکی $F_s = 1 / 5$ با عنوان ضریب اطمینان قابل قبول در طرح شبیه ها پذیرفته شود (ضریب اطمینان استاتیکی $F_s = 1 / 5$ در غالب مراجع و کدهای طراحی توصیه می شود) آنگاه این معیار به تهابی کافی نخواهد بود و شبیه حتماً بايستی برای زلزله طرح کنترل شود. به علاوه نتایج ارائه شده در جداول

در مطالعه حاضر با استفاده از نقشه های خطر زمین لرزه در ایران (ارسان مهاجر اشجاعی ۱۳۶۴، سازمان امنیتی اسلامی ایران) و نمودارهای فوق چنین پنهان بندی انجام گردیده است.

نقشه های خطر زمین لرزه فوق برای دو حالت:
۱ - دوره بازگشت ۵۰ ساله معادل ۶٪ احتمال وقوع در ۵۰ سال.

۲ - دوره بازگشت ۵۰۰ ساله معادل ۱٪ احتمال وقوع در ۵۰ سال تهیه شده اند.

حالت اول اغلب به عنوان زمین لرزه مبنای طرح و حالت دوم به عنوان شدیدترین زلزله قابل فرض برای مستجدات با طول عمر مفید ۵۰ سال محسوب می شوند. در زیر روش بکار رفته برای انجام این پنهان بندی مقدماتی تشریح شده است:

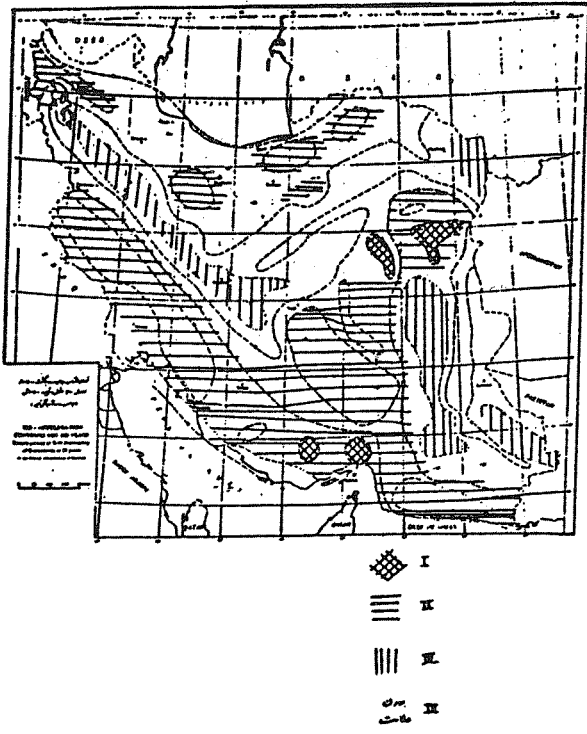
الف - نقشه پنهان بندی مقدماتی خطر زمین لرزه در اثر زلزله برای دوره بازگشت ۵۰ سال معادل ۶٪ احتمال وقوع در ۵۰ سال:
با استفاده از نقشه خطر زمین لرزه در ایران برای دوره بازگشت ۵۰ سال، ۴ منطقه در این نقشه براساس شتاب حداکثر افقی محتمل تفکیک گردیده است:

$$\begin{aligned} I &: 0 / 35g < a_{max} \\ II &: 0 / 25g < a_{max} < 0 / 35g \\ III &: 0 / 15g < a_{max} < 0 / 25g \\ IV &: a_{max} < 0 / 15g \end{aligned}$$

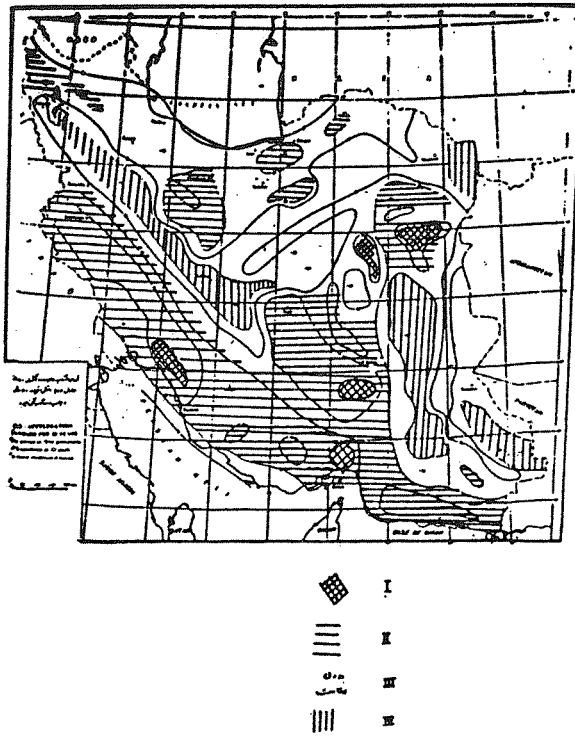
با استفاده از نمودارهای ایشی هارا، برای ۴ منطقه تعريف شده فوق مقدار ضریب اطمینان استاتیکی که در آن با اعمال حداکثر شتاب محتمل دوره طرح، شبیه های با سه دسته زاویه $5^{\circ}-20^{\circ}$ و $20^{\circ}-30^{\circ}$ و $30^{\circ}-40^{\circ}$ درجه گسیخته می شوند داده شده است:

منطقه	حداکثر شتاب محتمل	مقدار ضریب اطمینان استاتیکی		
		زاویه متوسط سطح گسیختگی	$20^{\circ}-30^{\circ}$	$30^{\circ}-40^{\circ}$
I	0 / 40g	۲ / ۱۶	۱ / ۷۸	۱ / ۴۲
II	0 / 35g	۱ / ۹۷	۱ / ۶۴	۱ / ۳۱
III	0 / 25g	۱ / ۶۰	۱ / ۳۶	۱ / ۰۸
IV	0 / 15g	۱ / ۱۹	۱ / ۰۸	۱ / ۰۰

ب - نقشه پنهان بندی مقدماتی خطر زمین لرزه در اثر زلزله برای دوره بازگشت ۵۰۰ ساله معادل ۱ درصد احتمال وقوع در ۵۰ سال:
با استفاده از نقشه خطر زمین لرزه در ایران برای دوره بازگشت ۵۰۰ سال، ۴ منطقه در این نقشه براساس شتاب



شکل ۱۰ - نقشه مقدماتی پهنه‌بندی خطر زمین لغزه‌های ناشی از زلزله در ایران برای دوره بروگشت ۵۰ ساله معادل ۱۰٪ احتمال وقوع در ۵۰ سال.



شکل ۹ - نقشه مقدماتی پهنه‌بندی خطر زمین لغزه‌های ناشی از زلزله در ایران برای دوره بروگشت ۵۰ ساله معادل ۶۴٪ احتمال وقوع در ۵ سال.

زلزله‌ای مقاطع تخریب شده و ترک خورده زمین لغزه گاوخسب را بخوبی پیش‌بینی می‌کنند. در این میان روش شبه‌استاتیکی پیشنهادی ایشی‌هارا برای تعیین پایداری لرزه‌ای شبیه‌جواب‌های مناسب‌تری می‌دهد. در این روش، شتاب‌حداکثر شتاب نگاشت در تعیین نیروی افقی وارد بر توده لغزان مورد استفاده قرار می‌گیرد و همچنین با فرض عدم تغییر مقدار ϕ در شرایط زلزله نسبت به حالت استاتیکی مقدار چسبندگی دینامیکی به میزان پنجاه درصد نسبت به چسبندگی استاتیکی افزایش می‌یابد.

۲- با این حال روش‌های مورد اشاره در بند فوق قادر به توضیع علت ایجاد تغییر مکان‌های زیاد و تخریب کلی در مقطع تخریب شده و محدود ماندن تغییر مکان‌های ناشی از زلزله و عدم تخریب کلی در مقطع ترک خورده نمی‌باشد.

۳- شتاب تسلیم بدست آمده در تحلیل بروگشتی شبیه گسیخته شده مورد مطالعه با نمودارهای شتاب ضربی اطمینان استاتیکی تهیه شده توسط ایشی‌هارا مطابقت خوبی دارد. به عبارت دیگر نمودارهای اخیر قادر به پیش‌بینی گسیختگی شبیه مورد بررسی در هنگام زلزله ۶۹ منجیل می‌باشند.

فوق نشان می‌دهند که در بیشتر حالات، بارگذاری زلزله و نه بارگذاری استاتیکی کنترل کننده طرح می‌باشد.
با انجام مطالعات بیشتر می‌توان نقشه‌های مقدماتی پهنه‌بندی فوق را کاملتر نمود. از جمله این مطالعات موارد زیر قابل ذکر هستند:

۱- ایجاد داده‌های بیشتر برای دقیق‌تر کردن نمودارهای ایشی‌هارا. این کار می‌تواند با تحلیل بروگشتی زمین لغزه‌های تحریک شده توسط زلزله انجام شود. با این ترتیب می‌توان منحنی‌های ایشی‌هارا را دقیق‌تر نموده و این نمودارها را در محدوده‌های کوچکتری از نظر زاویه متوسط سطح گسیختگی تعیین نمود.

۲- در صورتی که در مطالعات پهنه‌بندی با مقیاس بزرگ، بتوان نقشه توزیع شبیه یا نقشه توزیع ضربی اطمینان استاتیکی را در شبیه‌های موجود منطقه موردنظر تهیه نمود. نقشه پهنه‌بندی حاصله اطلاعات بیشتری را به استفاده کننده می‌دهد.

۶- نتیجه‌گیری و خلاصه :

۱- روشهای استاتیکی متداول، پایداری و ناپایداری

در آنکه شرایط، بارگذاری زلزله عامل تعیین کننده در پایداری شیب‌ها در کشور می‌باشد.

۴- با استفاده از نسودارهای ایشی‌هارا و منحنی‌های هم شتاب زلزله، نقشه‌های مقدماتی پهن‌بندی زمین لغزه‌های ناشی از زلزله در کشور ایران تهیه گردید؛ این نقشه‌ها شان می‌دهند که

مراجع :

- 1- س: منتظرالقائم (۱۳۷۱) ارزیابی پایداری شیب‌های طبیعی در زلزله. مطالعه موردي، پایان‌نامه ارائه شده به دانشگاه صنعتي اميركبير برای دریافت درجه کارشناسی ارشد.
- 2- Ishihara, K. et al. (1992). "Geotechnical Aspects of the June 20. 1990 Manjil Earthquake in Iran" Soils and Foundations. Vol. 32, No.3, pp. 61-78.
- 3- Ishihara, K. (19850. "Stability of Natural Deposits During Earthquakes". Proc. 11th International Conference on Soil Mechanics and Foundation Engineering, San Fransisco, Vol. 1, pp. 321-376.
- 4- Matasovic. N. 91991). "Selection of Method for Seismic Slope Stability Analysis" proc. Second International Conference on Recent Advances in Geotechnical Earthquake Engineering and Soil Dynamics, St. Louis, Missouri.
- 5- Hansen Franks, C.A.M. (1991) "Characterization and Mapping of Earthquake-Triggered Landslides for Seismic Zonation.", Proc. Fourth International Conference on seismic Zonation, STANFORD, CALIFORNIA, Vol. I, pp. 149-195.
- 6- Kenji Ishibara and Hai-Lung Hsa (1986) "Considerations for Landslides in Natural Slopes Triggered by Earthquakes". Proc. of Isce No. 376/III-6 (Geotechnical Eng). December 1986.